

《報文》 HWAHAK KONGHAK Vol. 18, No. 6, December 1980, pp. 495—502  
 (Journal of the Korean Institute of Chemical Engineers)

## 黃酸우라닐과 水素와의 反應

咸 鎏 默·申 柄 混

漢陽大學校 工業化學科

(접수 1980. 9. 25)

## On Reaction Between Uranyl Sulfate and Hydrogen

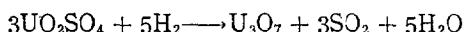
Yong Mook Ham and Byung Sik Shin

*Department of Industrial Chemistry,  
 Hanyang University, Seoul 133, Korea*

(Received September 25, 1980)

### 要 約

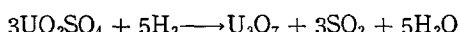
黃酸우라닐과 水素와의 反應에 對하여 反應速度와 反應過程을 462~490°C 와 水素分壓 0.4~1.0 atm 的 範圍에서 研究하였다. 黃酸우라닐과 水素와의 反應은 다음과 같이 表示할 수 있다.



上記 反應은 反應生成物과 水素分壓에 對하여 各各 1次이고 活性化 에너지는 26.6 Kcal/mole 이었다.

### ABSTRACTS

The kinetics and the process of the reaction between uranyl sulfate and hydrogen have been studied isothermally in range of 462 to 490°C and 0.4 to 1.0 atm in hydrogen partial pressure. The reaction is represented as follows;



The reaction was first order with respect to solid product and hydrogen partial pressure, respectively. The value of the activation energy was found to be 26.6 Kcal/mole.

## 1. 諸 論

黃酸우라닐의 水和物과 無水物에 對한 热分解<sup>1)</sup> . 热力學的 性質<sup>2)</sup> 및 其他 여러 가지 物性<sup>3), 4)</sup>에 對한 많은 研究가 報告되어 있으며, 黃酸우라닐은 760°C에서 U<sub>3</sub>O<sub>8</sub>, SO<sub>3</sub>, SO<sub>2</sub>, O<sub>2</sub> 등으로 热分解된다고 Notz 와 Jaffe<sup>1)</sup>에 依하여 報告되어 있다. 또한 우라늄의 酸化物은 高溫에서 條件에 따라 UO<sub>3</sub>와 UO<sub>2</sub> 사이에서 變化함이 알려져 있다.<sup>4), 7)</sup>

本 研究에서는 黃酸우라닐과 水素와의 氣相一固相 反應過程을 热天秤, X-線 回折分析 및 化學分析等으로 追跡하고, 水素分壓이 反應速度에 미치는 影響等에 對하여 研究検討하였으며 아울러 우라닐鹽(UO<sub>2</sub>SO<sub>4</sub>나 UO<sub>2</sub>C<sub>2</sub>O<sub>4</sub>)의 热分解反應으로 生成되는 U<sub>3</sub>O<sub>8</sub> 혹은 우라늄酸化物의 水素還元<sup>7)</sup>에 依해서 生成되는 UO<sub>2</sub>와는 달리 本實驗에서는 U<sub>3</sub>O<sub>7</sub>의 酸化物이 生成되었으므로 이를 報告한다.

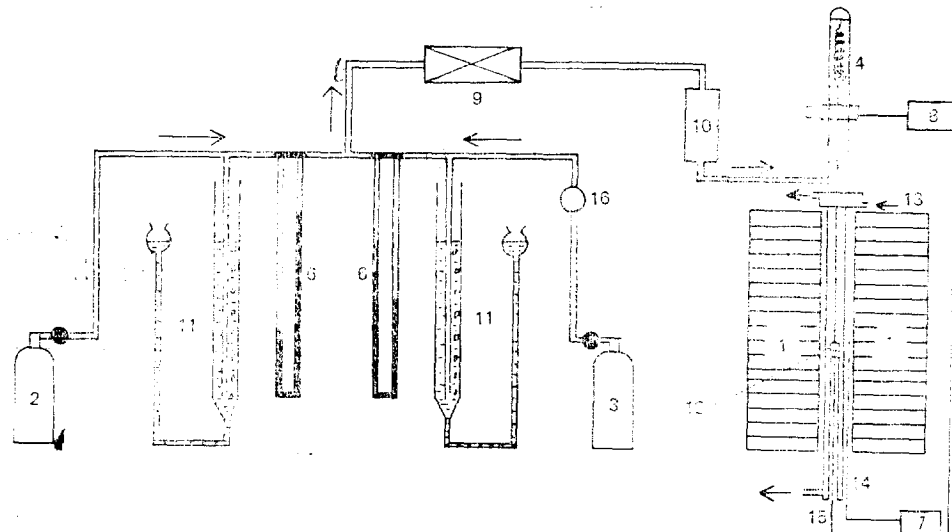
## 2. 實 驗

### 2.1. 試 料

黃酸우라닐; 黃酸우라닐의 無水物을 實驗에 使用하였다. 無水物은 特級試藥의 黃酸우라닐 3水鹽(UO<sub>2</sub>SO<sub>4</sub>·3H<sub>2</sub>O)을 Notz 와 Jaffe<sup>1)</sup>의 方法에 따라 窒素氣流中에서 約 500°C로 10時間 加熱 脫水하여 만들었으며 化學分析과 X-線回折分析<sup>1)</sup>으로 確認하였다.

水素 및 窒素; 水素와 窒素는 五酸化磷을 채워둔 乾燥管을 通過시켜 水分을 除去하였고, 窒素中에 含有되어 있는 微量의 酸素는 알칼리性 피로가를 溶液을 通過시켜 除去하였다.

水素-窒素氣ガス(H<sub>2</sub>-N<sub>2</sub>); 反應用 水素-窒素氣ガス는 要求되는 水素分壓에 따라 Darken 과 Gurry<sup>5)</sup>의 方法으로 만들었고, 稀釋氣體로서는 窒素gas를 使用하였다.



- 1. furance
- 2. hydrogen cylinder
- 3. nitrogen cylinder
- 4. quartz spring
- 5. differential coil
- 6. flow meter
- 7. temperature controller
- 8. two pen recorder

- 9. gas reservoir for gas mixing
- 10. drying tube
- 11. pressure control system
- 12. sample vessel
- 13. cooling water
- 14. thermocouple for temp. control
- 15. thermocouple for temp. recording
- 16. pyrogallol solution

Fig. 1. Schematic experimental apparatus

## 2.2. 實驗裝置

本實驗에 사용한 裝置配列의 略圖는 Fig. 1 과 같다.

## 2.3. 實驗方法

### 2.3.1. 热重量分析

石英으로 만든 試料容器(直徑 18mm, 높이 5 mm)에 試料 約 130mg 을 수소와 잘 接觸할 수 있도록 舂개 펴서 넣고 正確히 秤量하여 爐中央部의 反應管內에 热天秤의 石英스프링에 石英을로 매달고 수소가스를 通하였다. 수소가스는 一定分壓의 것을 200ml/min.의 一定流速으로 通過시켰고, 爐의 升溫速度는 3°C/min.로 一定하게 하였다. 反應에 依하여 일어나는 重量減少는 記錄計에 溫度와 함께 記錄하였고 反應生成物은 X-線迴折分析과 化學分析으로 確認하였다.

### 2.3.2. X-線迴折分析

反應에 依해 生成된 固體物質의 X-線迴折分析은 ASTM 카드<sup>6)</sup>의 pattern 을 標準으로 하여 比較確認하였다.

### 2.3.3. 反應速度

황산우라닐과 수소와의 反應速度를 檢討하기 위하여 溫度 462~490°C, 수소分壓 0.4~1.0 atm의 範圍內에서 等溫反應實驗을 하였다. 热天秤의 反應管 및 裝置內部에는 一定分壓으로 調節한 水素雰圍氣가스( $H_2 - N_2$ )를 充分히 通過시켜 反應가스 雰圍氣로 調整하였고, 爐의 溫度는 所定溫度로 一定하게 維持시켰으며 기타 操作은 2.3.1에 따랐다. 反應이 進行됨에 따라 일어나는 重量減少는 記錄計에 溫度와 함께 自動記錄되었고 反應爐의 溫度는  $P_t - P_t \cdot Rh$  線으로 測定하였으나 溫度는 自動溫度調節裝置로  $\pm 2^\circ C$ 의 正確度로 調節維持시켰다.

## 3. 實驗結果 및 考察

### 3.1. 黄酸우라닐과 수소와의 反應에 對한 热重量分析 및 反應解析

黄酸우라닐과 수소와의 反應에 對하여 热天秤

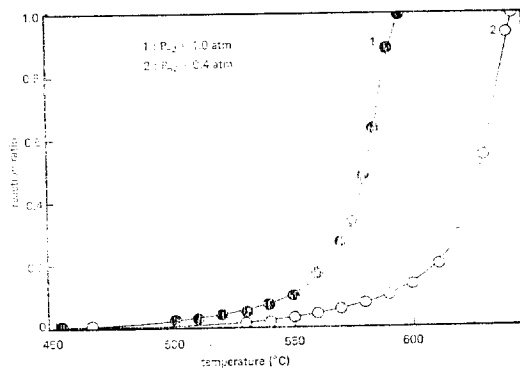


Fig. 2. Typical curves on fractional conversion vs. reduction temperature

으로 热重量分析을 하여 그 結果를 反應率  $\alpha$  ( $\alpha$  = 時間의 重量減少量 / 反應終了時의 重量減少量) 對 溫度와의 關係로 水素分壓 0.4 atm 와 1.0 atm 일때 단을 代表적으로 Fig. 2에 나타냈다.

Fig. 2를 보면 水素分壓에 따라 反應開始溫度와 反應終了溫度가 相異함을 알 수 있다. 여기서 反應終了溫度란 黄酸우라닐과 수소가 反應하여  $U_3O_7$ 이 生成되기 까지의 1次的인 重量減少가 끝나는 热天秤에서의 溫度를 말한다. 實驗結果 反應開始溫度는 水素分壓이 0.4 atm 0.6 atm, 0.8 atm, 1.0 atm에서는 각각 466°C, 463°C, 459°C, 453°C로 水素分壓 增加에 따라 낮아지고, 그리고 反應終了溫度도 각각 642°C, 618°C, 605°C, 593°C로 水素分壓 增加에 따라 낮아짐을 알았다.

反應으로 生成된 固體生成物의 X-線迴折圖는 Fig. 3에 나타냈으며, Pattern 을 ASTM 카드<sup>6)</sup>와 比較하였던 바  $U_3O_7$ 의 Pattern과 同一하였다.

또한 氣體生成物을 分析한 結果  $SO_2$ 와  $H_2O$ 임이 確認되었다. 黄酸우라닐의 热分解反應溫는 760°C<sup>1)</sup>이고 固體生成物은  $U_3O_8$ 이나  $UO_2SO_4 - H_2$ 의 氣一固系 反應에서 反應開始溫度는 453°C로 热分解反應溫도보다 훨씬 낮았다. 따라서 热分解反應과  $UO_2SO_4 - H_2$ 의 反應은 別個의 反應

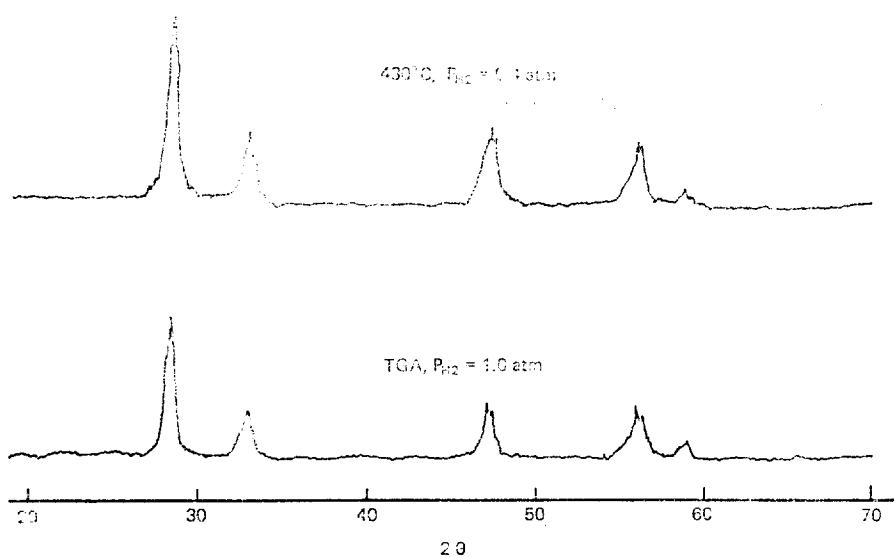


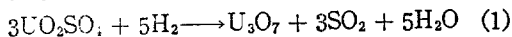
Fig. 3. X-Ray diffraction patterns of solid products

이라 생각된다.

또 反應이 終了된 後의 重量減少는 水素分壓이 0.4 atm, 0.6 atm, 0.8 atm, 1.0 atm 인 경우 각각 75.7%, 75.7%, 75.6%, 75.5%로 水素分壓에 關係없이 거의 一定하며 이와 같이 重量減少가 水素分壓에 關係없이 거의 一定하다는 것은 水素分壓 0.4~1.0 atm의 範圍內에서는 同一한 反應이 일어남을 나타내는 좋은 증거이고, 그 平均值 75.6%는  $\text{UO}_2\text{SO}_4$  가  $\text{U}_3\text{O}_7$  으로 變化될 때의 重量減少에相當하는 理論值인 75.2%와 잘 一致하고 있다.

以上의 實驗結果를 綜合하면 水素分壓 0.4~1.0 atm 的 範圍內에서는 黃酸우라닐과 水素와의 反應生成物은  $\text{U}_3\text{O}_7$ ,  $\text{SO}_2$  및  $\text{H}_2\text{O}$  임을 알 수 있다.

다음에서  $\text{UO}_2\text{SO}_4 - \text{H}_2$  系 反應은 下記式으로 表現할 수 있다고 본다.

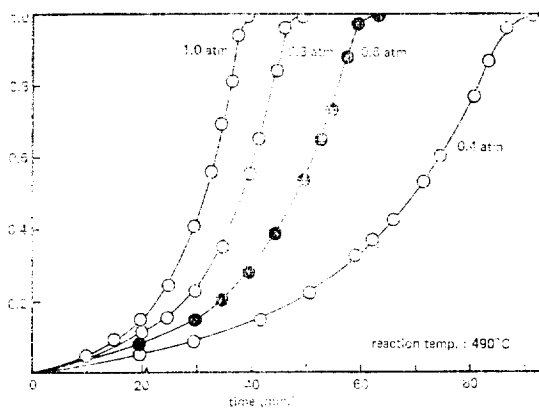


### 3.2. 等溫反應

黃酸우라닐과 水素와의 反應速度를 檢討하기 위하여 溫度 462~490°C, 水素分壓 0.4~1.0 atm 的 範圍에서 等溫實驗을 하였다. 等溫反應에서

도 黃酸우라닐과 水素와의 反應이 式(1)에 따라 일어나는지를 確認하기 為하여 各 溫度에서의 反應生成物을 分析 檢討하였는데 反應은 式(1)에 따라 일어남이 確認되었으므로 이러한 條件下에서 等溫反應速度를 檢討하였다.

實驗結果로 부터 얻은  $\alpha \sim t$  曲線을 Fig. 4에 나타냈으며,  $\alpha \sim t$  曲線은 Fig. 4에서 볼 수 있는 바와 같이 反應의 誘導期間이 길고 減速期

Fig. 4. Typical  $\alpha \sim t$  curves in various partial pressure

間이 極히 짧은 特有한 S字型으로 水素分壓이 를수록 反應速度는 急激히 增加하는 것으로 나타나 있다.

이러한 S字型인  $\alpha \sim t$  曲線의 反應은 mercury fulminate,<sup>9)</sup> barium styphnate,<sup>14)</sup> lead styphnate<sup>16)</sup>, 銀<sup>15)</sup>等의 热分解反應과 黃化鐵의 酸化反應<sup>17)</sup>等에서도 볼 수 있고一般的으로 反應誘導期間을 가지고 있는 化學反應過程은 反應生成物의 自觸作用에 依하여 進行됨이 잘 알려져 있다.<sup>8,18,19)</sup> 따라서 反應速度가 反應生成物의 量, 未反應物의 量 및 水素分壓에 比例한다면 反應速度式은 다음과 같이 表示할 수 있다.

$$\frac{d\alpha}{dt} = k\alpha(1 - \alpha)P_{H_2}^n \quad (2)$$

만일 水素分壓이 一定하면 다음과 같이 된다.

$$\frac{d\alpha}{dt} = k_1\alpha(1 - \alpha) \quad (3)$$

또 上記한 化學反應은 自觸反應이므로 一定 水素分壓下에서 化學反應過程에서 생긴 反應生成物의 量에만 依存한다.

$$\frac{d\alpha}{dt} = k_1\alpha \quad (4)$$

여기서  $\alpha$ 는 反應率이고  $k_1$ 는 比例常數,  $P_{H_2}$ 는 水素分壓,  $n$ 는 次數다. (3)과 (4)式을 各各 積分하면

$$\ln \frac{\alpha}{1 - \alpha} = k_1 t + c \quad (5)$$

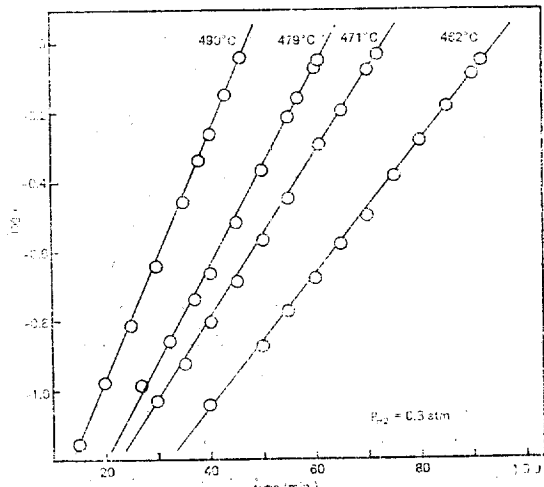


Fig. 5. Typical kinetic plots

$$\ln \alpha = k_1 t + c \quad (6)$$

(5)와 (6)式에 따라  $\log \frac{\alpha}{1 - \alpha}$ 와  $\log \alpha$ 를 時間  $t$ 에 對하여 各各 plot하였는데 (6)式만이  $\alpha = 0.08 \sim 0.85$  사이에서 좋은 直線性을 나타내고 있으며  $P_{H_2} = 0.8$  atm 일때의 實驗結果를 Fig. 6에 表示하였다. 即 이 反應의 反應物質인 黃酸우라닐은 反應速度에 영향을 미치지 못함을 알 수 있고, 反應生成物만이 反應速度에 영향을 주는 自觸反應의 一種이라 생각된다. 따라서 (4)式은 水素分壓이 一定한 條件에서 反應生成物의 擬 1次反應임을 알 수 있다.

한편 水素分壓이 反應에 영향을 檢討하기 위하여 水素分壓 0.4, 0.6, 0.8, 1.0 atm 일때 各溫度에서 求한 比例常數  $k_1$ 을 各溫度別로 水素分壓에 對하여 圖示한 結果는 Fig. 6에 나타낸 바와 같다.

Fig. 6을 보건대 比例常數  $k_1$ 은 一定水素壓下에서는 溫度에 따라 差異는 가져오나 水素壓力 0.4~1.0 atm의 全域에서 各溫度別로 좋은 直線性을 나타내고 있으며 一定溫度에서는 水素分壓에 比例하여 增加하고 있음을 볼 수 있다. 따라서 反應速度常數  $k$ 를 求하려면

$$k_1 = kP_{H_2} \quad (7)$$

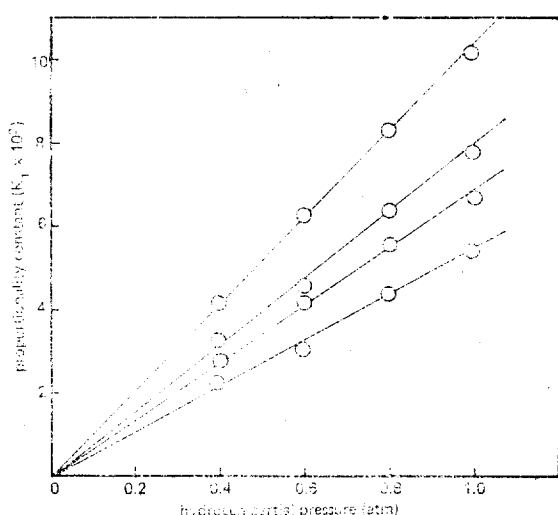


Fig. 6. Effect of hydrogen partial pressure

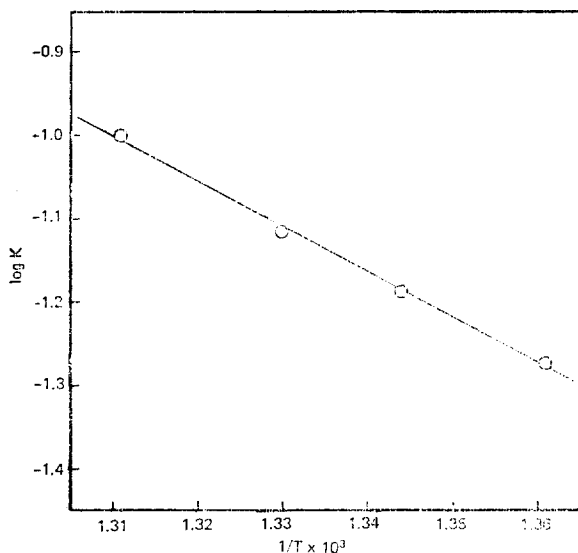


Fig. 7. Arrhenius plot for the reaction of  $\text{UO}_2\text{SO}_4 - \text{H}_2$

로 부터 (4)式은 다음과 같이 表示된다.

$$\frac{d\alpha}{dt} = k\alpha P_{\text{H}_2} \quad (8)$$

여기서  $k$ 는 速度常數로 溫度, 壓力, 氣體組成等의 函數이고,  $P_{\text{H}_2}$ 는 水素分壓이다. Fig. 6의 直線의 기울기로 부터 速度常數  $k$ 를 求하여  $\log k$ 를  $1/T$ 에 對하여 Arrhenius plot 하면 Fig. 7과 같으며 겉보기 活性에너지 를 求하면 26.6 Kcal/mole 이 된다.

(8)式과 같은 모양의 反應速度式은 D.W. DeBerry 와 K.J. Sladek 의 亞黃酸ガス와 金屬酸化物의 反應,<sup>10)</sup> M. Tenebaum 와 T.L. Joseph 의 酸化鐵의 水素還元,<sup>11)</sup> 그리고 S.K. Mukherjee 와 N.D. Ganguly의 黃化구리의 酸化反應<sup>12)</sup>等에서 찾을 수 있다. 黃酸우라닐과 水素와의 反應은 誘導期間이 길고 減速期間이 極히 짧은 急激한 反應인 것으로 보아 反應生成物 自體가 周邊의 反應을 誘發하고 反應速度는 反應進行에 따라 生成物量에 比例하며 固體界面의 活性部位에 水素吸着<sup>13)</sup>으로 始作하는 反應이라 생각된다.

#### 4. 結論

水素分壓 0.4~1.0 atm의 範圍에서 黃酸우라닐과 水素와의 反應을 研究検討하였던바 다음과 같은 結論을 얻었다.

- (1) 黃酸우라닐과 水素와의 反應은 다음과 같은 式으로 表示할 수 있다.  

$$3\text{UO}_2\text{SO}_4 + 5\text{H}_2 = \text{U}_3\text{O}_7 + 3\text{SO}_2 + 5\text{H}_2\text{O}$$
- (2) 反應速度는 反應生成物 및 水素分壓에 各各 1次이다.
- (3) 反應의 겉보기 活性化에너지 is 26.6 Kcal/mole 이었다.

#### 참고 문헌

1. K.J. Notz and H.H. Jaffe, J. Inorg. Nucl. Chem., 25(1963), 851.
2. B.B. Owens and S.W. Mayer, J. Inorg. Nucl. Chem., 26(1964), 501.
3. A.R. Bailey and J.W. Larson, J. Phys. Chem., 75(1971), 2368.
4. K.H. Stern and E.L. Weise, High Temperature Properties and Decomposition of Inorganic Salts, Part 1, Sulfates, U.S. Department of Commerce, National Bureau of Standards (1966), p. 32.
5. L.S. Darken and R.W. Gurry, J. Amer. Chem. Soc., 67(1945), 1398.
6. ASTM X-Ray Powder Data File, Card No. 15—4.
7. R.M. Dell and V.J. Wheeler, Trans. Faraday Soc., 58(1962), 1590.
8. D.A. Young, Solid and Surface Kinetics (Volume 01), Decomposition of Solids, Pergamon Press Ltd., (1966). p. 5.
9. W.E. Garner and H.R. Hailes, Proc. Roy. Soc., A139(1933), 576.
10. D.W. DeBerry and K.J. Sladek, Can. J. Chem. Eng., 49(1971), 781.
11. M. Tenebaum and T.L. Joseph, AIME Trans., 135(1939), 59.
12. S.K. Mukherjee and N.D. Ganguly, Chem.

- Eng. Sci., 20(1965), 443.
13. G. Parravano, J. Amer. Chem. Soc., 74 (1952), 1194.
14. F.C. Tompkins and D.A. Young, J. Chem. Soc., (1957), 4281.
15. A. Finch, P.W.M. Jacobs, and F.C. Tompkins, J. Chem. Soc., (1954), 2053.
16. H.R. Hailes, Trans. Faraday Soc., 29 (1933), 544.
17. K. Nishihara and Y. Kondo, Sulfuric Acid, 11(1958), 89.
18. 日本化學會編, 固體の關與する無機反應, 東京大學出版會(1975) p. 214.
19. T.J. Gray and V.D. Frechette, Kinetics of reactions in ionic systems, Plenum press(1969) p. 49.

